

Análise e Modelagem de Sistemas Dinâmicos - 2023/2

Nome: Thiago Felipe Neitzke Lahass

Data limite para entrega: 27/11/2023

A entrega deverá ser feita pelo Google Classroom

Trabalho 3 - Resposta no Tempo, Estabilidade e Sistemas Discretos

```
I = 10;           % Seu número I
init_t3(I);       % Define as variaveis do modelo 1
datetime('now')
```

```
ans = datetime
      27-Nov-2023 21:10:02
```

Funções úteis do Matlab: tf, tfdata, step, RespConfig, minreal, figure, plot, hold, grid, stairs, title, xlabel, ylabel, legend, sprintf, fprintf, ss, d2c, roots, sort, real, imag, abs, sqrt, poly, length, feedback, initial, tf2ss, cart2pol, eig, vpa, eval.

Análise da Resposta no Tempo Contínuo

A Função de Transferência baixo foi designada em função do seu valor de I.

G

G =

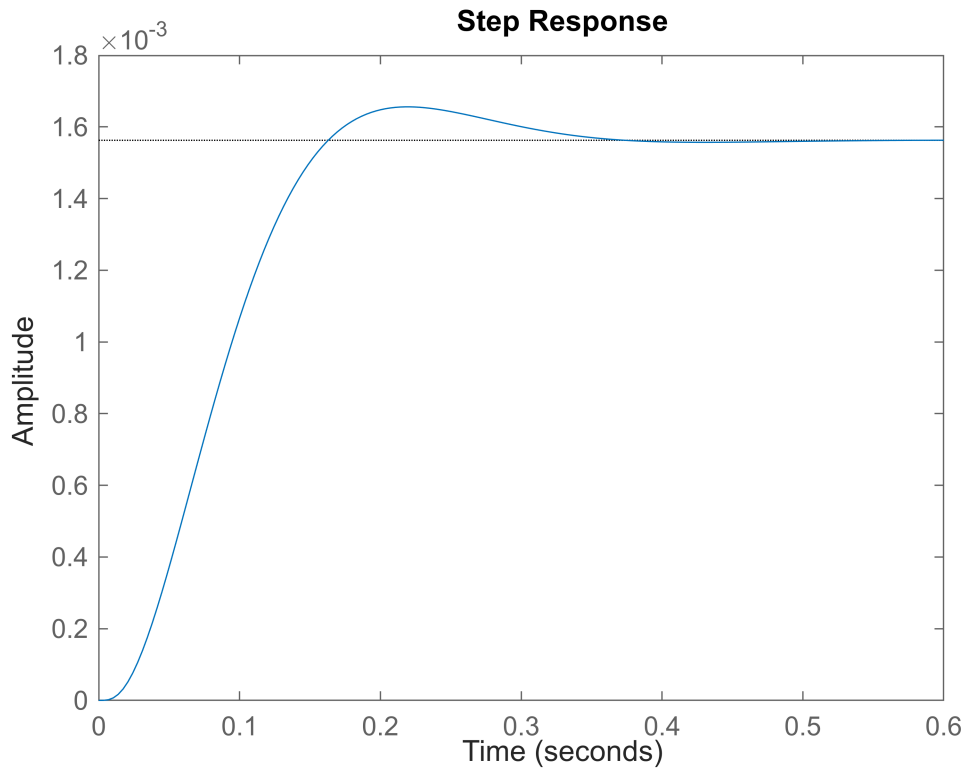
```

              4000
-----
s^4 + 546.7 s^3 + 7.827e04 s^2 + 1.915e06 s + 2.56e07
```

Continuous-time transfer function.
Model Properties

1.1 Plote a resposta ao degrau de $G(s)$ para um degrau de amplitude U .

```
% Simulando a resposta de G(s) ao degrau U
step(U * G);
```



1.2 Encontre a função $Q(s)$ de 1ª ou de 2ª ordem (conforme o caso), cuja resposta ao degrau se aproxime a resposta ao degrau de $G(s)$.

Como há um sobreimpulso claro na resposta de $G(s)$ ao degrau, temos que $Q(s)$ deve ser de segunda ordem. Logo, analisando a forma padrão de um sistema de segunda ordem, temos:

$$G(s) = K \frac{\omega_n^2}{s^2 + 2\zeta\omega_n s + \omega_n^2},$$

onde:

ω_n é denominada a frequência natural do sistema, e

ζ é denominado o fator de amortecimento do sistema.

Como o sistema é subamortecido ($0 < \zeta < 1$), então podemos obter ζ e ω_n a partir dos valores de máximo sobreimpulso M_p , e tempo de pico t_p , a partir do seguinte:

$$\zeta = \frac{-\ln(M_p)}{\sqrt{\pi^2 + \ln^2(M_p)}} \text{ e } \omega_n = \frac{\pi}{t_p \sqrt{1 - \zeta^2}}, \text{ onde } M_p = \frac{y(t_p) - y(\infty)}{y(\infty)}.$$

Como conseguimos aferir os valores de K , t_p , $y(t_p)$ e $y(\infty)$, conseguimos obter todos os parâmetros necessários para representar nossa FT de segunda ordem.

Fazendo todo o procedimento de obtenção e cálculo dos coeficientes, temos:

```

% Simulando a resposta de G(s) ao degrau
time_span = linspace(0, 0.6, 10000);
[y1, t] = step(G, time_span);

% Encontrando os picos da resposta ao degrau
[peaks, peak_times] = findpeaks(y1, t);

% Encontrando o valor máximo (magnitude do pico) e o instante (tp) em que ocorre
[max_peak, max_peak_index] = max(peaks);
tp = peak_times(max_peak_index);

% Calculando o valor Estacionário
final_value = y1(end);

% Plotando a resposta ao degrau com o pico destacado
figure;
plot(t, y1, tp, max_peak, 'ro');
hold on;

% Adicionando a linha tracejada indicando o valor estacionário
line([time_span(1), time_span(end)], [final_value, final_value], 'Color', 'g',
'LineStyle', '--');

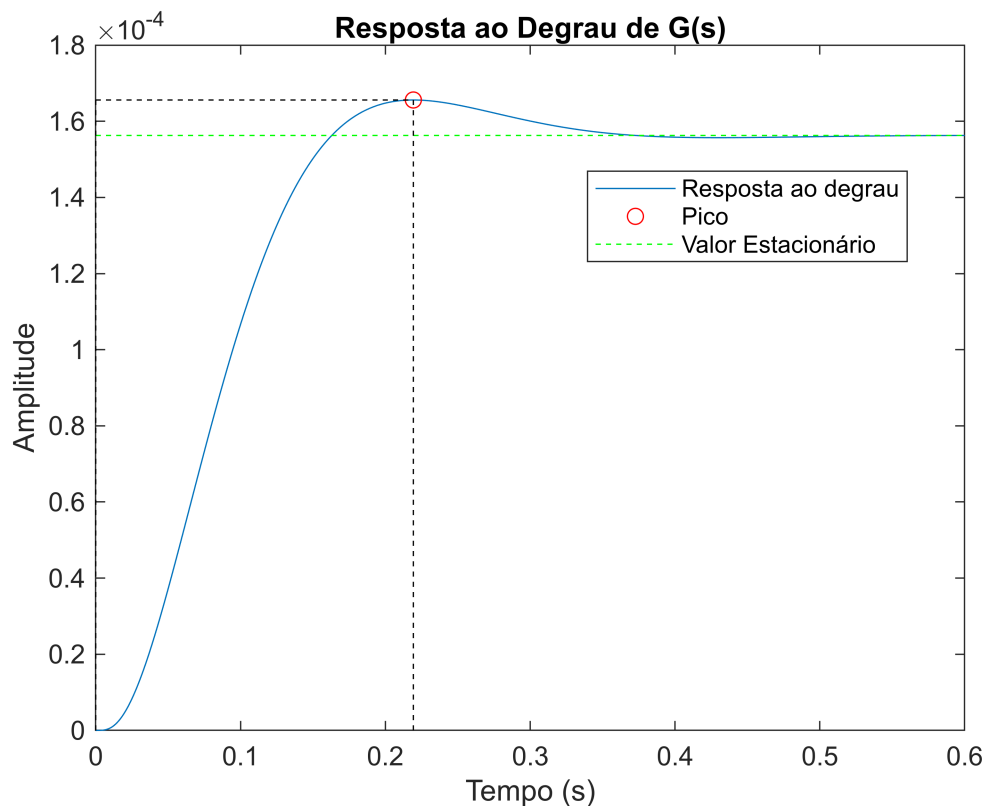
% Adicionando linhas perpendiculares aos eixos no ponto de pico
plot([tp, tp], [0, max_peak], 'k--');           % Linha vertical até o pico
plot([0, tp], [max_peak, max_peak], 'k--');     % Linha horizontal até o tempo do
pico
plot([tp, tp], [0, 0], 'k--');                 % Linha vertical até o eixo x
plot([0, 0], [0, max_peak], 'k--');             % Linha horizontal até o eixo y

title('Resposta ao Degrau de G(s)');
xlabel('Tempo (s)');
ylabel('Amplitude');

% Posicionando a legenda abaixo do gráfico para não atrapalhar visualização
legend('Resposta ao degrau', 'Pico', 'Valor Estacionário', 'Location','best');

hold off;

```



```
fprintf('Valor máximo (magnitude do pico): %.10f\n', max_peak);
```

Valor máximo (magnitude do pico): 0.0001655872

```
fprintf('Instante do pico: %.10f segundos\n', tp);
```

Instante do pico: 0.2193219322 segundos

```
fprintf('Valor final (Estacionário): %.10f\n', final_value);
```

Valor final (Estacionário): 0.0001562680

```
% Encontrando os valores das constantes da fórmula padrão
K = final_value;
Mp = (max_peak - final_value)/final_value;
zeta = -log(Mp)/sqrt(pi^2 + log(Mp)^2);
wn = pi/(tp*sqrt(1 - zeta^2));
% Criando a função de transferência Q(s), a partir da forma padrão G(s) = (K *
wn^2) / (s^2 + 2*zeta*wn*s + wn^2)
numerator = K * wn^2;
denominator = [1, 2 * zeta * wn, wn^2];

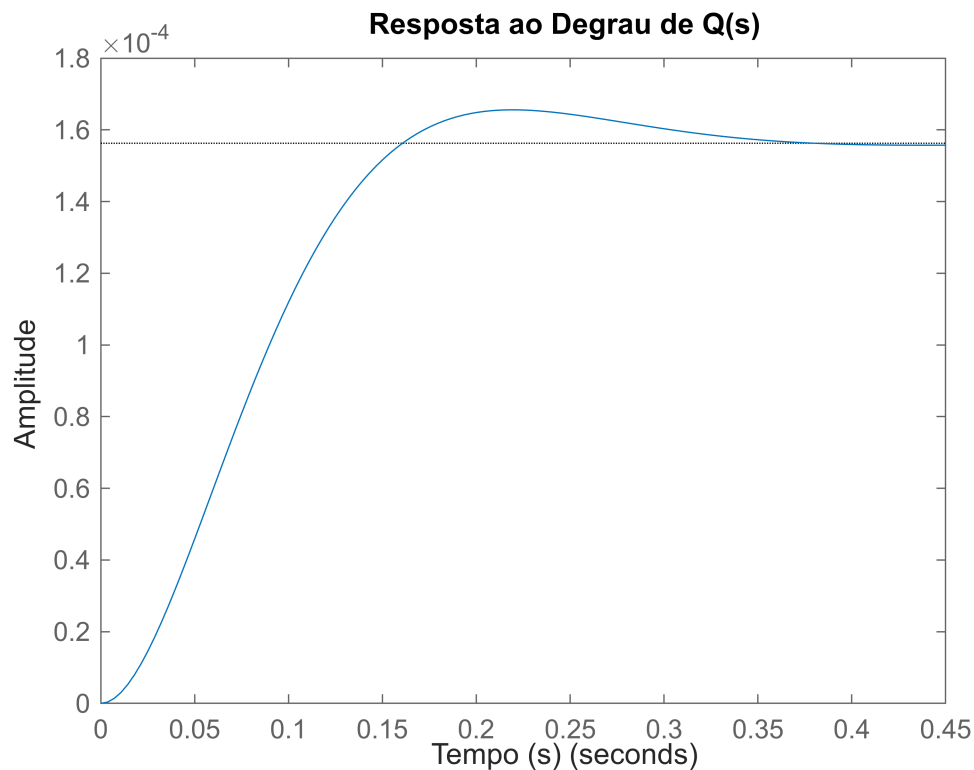
Q = tf(numerator, denominator);

% Simulando a resposta de Q(s) ao degrau
step(Q);
hold on;
```

```

title('Resposta ao Degrau de Q(s)');
xlabel('Tempo (s)');
ylabel('Amplitude');
hold off;

```



1.3 Compare, no mesmo gráfico, a resposta ao degrau de $Q(s)$ com a resposta ao degrau de $G(s)$ para um degrau de amplitude U . Explique a resposta.

```

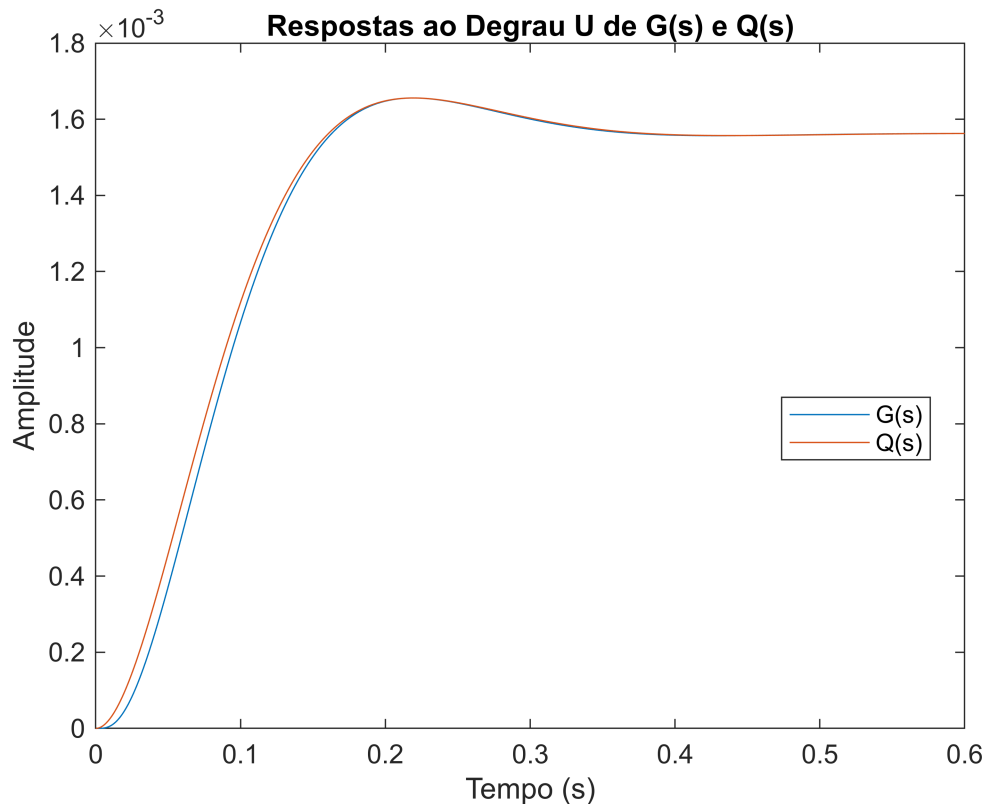
% Simulando a resposta de G(s) ao degrau U
[y2, ~] = step(U * G, time_span);

% Simulando a resposta de Q(s) ao degrau U
[y3, t] = step(U * Q, time_span);

% Plotar os gráficos de G(s) e Q(s) em um único gráfico
plot(t, y2);
hold on;
plot(t, y3);
hold off;

title('Respostas ao Degrau U de G(s) e Q(s)');
xlabel('Tempo (s)');
ylabel('Amplitude');
legend('G(s)', 'Q(s)', 'Location', 'best');

```



Vemos através dos gráficos plotados que os valores de pico e os valores estacionários de ambas funções de transferência são iguais. Além disso, é notável que a FT de segunda ordem $Q(s)$ começa a "subir" (responder) um pouco antes que $G(s)$, enquanto que a FT $G(s)$ tem um pequeno delay em relação a $Q(s)$ antes de começar a responder de forma significativa. Podemos ver a causa disso analisando os polos de $G(s)$ e $Q(s)$:

```
pole(G)
```

```
ans = 4x1 complex
102 ×
-3.2000 + 0.0000i
-2.0000 + 0.0000i
-0.1333 + 0.1491i
-0.1333 - 0.1491i
```

```
pole(Q)
```

```
ans = 2x1 complex
-12.8555 +14.3241i
-12.8555 -14.3241i
```

Sabemos que, quanto mais distante os polos estiverem do eixo imaginário, mais veloz é a resposta gerada. É fácil notar que os polos de $G(s)$ estão mais próximos ao eixo imaginário do que os polos de $Q(s)$, logo são mais lentos, e portanto isso gera o resultado visto no gráfico acima.

1.4 A partir da equação de $Q(s)$ e de medições feitas diretamente no gráfico da resposta ao degrau de $Q(s)$, para um degrau de amplitude U , informe os valores de

ζ , ω_n , MP , t_p , t_r e $t_s(5\%)$. (Mostre com *Data Tips* sempre que for possível marcar os valores no gráfico)

```
% Simulando a resposta de Q(s) ao degrau U
[yq, t] = step(U * Q, time_span);

% Encontrando os picos da resposta ao degrau U
[peaks, peak_times] = findpeaks(yq, t);

% Encontrando o valor máximo (magnitude do pico) e o instante (tp) em que ocorre
[max_peak, max_peak_index] = max(peaks);
tp = peak_times(max_peak_index);

% Calculando o valor Estacionário
final_value = yq(end);

%Além disso, podemos calcular os valores de tr e ts5 a partir da resposta
%que obtemos para a simulação de Q(s) para o degrau U, que esta em y3.
%Assim:

% Encontrando o índice correspondente a 10% e 90% do valor final
y_10 = 0.1 * final_value;
y_90 = 0.9 * final_value;

% Encontrando os tempos correspondentes a 10% e 90%
t_10 = interp1(y3, t, y_10);
t_90 = interp1(y3, t, y_90);

% Calculando o tempo de subida
t_r = t_90 - t_10;

% Encontrando os limites de +/-5% do valor estacionário
limite_superior = final_value * 1.05;
limite_inferior = final_value * 0.95;

%além disso, para o tempo de estabilização de 5% (t_s5), temos:
indices_limite_superior = find(yq >= limite_superior);
tempos_limite_superior = t(indices_limite_superior);
t_s5 = max(tempos_limite_superior);
% Encontrando o índice correspondente ao instante t_s5
indice_t_s5 = find(t == t_s5);
% Obtendo o valor de yq no instante t_s5
yq_t_s5 = yq(indice_t_s5);

% Ajustando o tamanho da figura
figure('Position', [100, 100, 1200, 800]); % [left, bottom, width, height]
plot(t, yq, 'b');
hold on;
```

```

% Plotando a resposta ao degrau com o pico destacado
plot(tp, max_peak, 'ro', 'MarkerFaceColor', 'r');

% Destacando o instante que atinge tempo de estabilização de 5%
plot(t_s5, yq_t_s5, 'mo', 'MarkerFaceColor', 'm');

% Adicionando a linha tracejada indicando o valor estacionário
line([time_span(1), time_span(end)], [final_value, final_value], 'Color', 'g',
'LineStyle', '--');

% Adicionando linhas tracejadas indicando os limites de +/-5% do valor estacionário
line([time_span(1), time_span(end)], [limite_superior, limite_superior], 'Color',
'r', 'LineStyle', '--');
line([time_span(1), time_span(end)], [limite_inferior, limite_inferior], 'Color',
'r', 'LineStyle', '--');

% Adicionando linhas perpendiculares aos eixos no ponto de pico
plot([tp, tp], [0, max_peak], 'k--'); % Linha vertical até o pico
plot([0, tp], [max_peak, max_peak], 'k--'); % Linha horizontal até o tempo do
pico
plot([tp, tp], [0, 0], 'k--'); % Linha vertical até o eixo x
plot([0, 0], [0, max_peak], 'k--'); % Linha horizontal até o eixo y

% Adicionando textos aos pontos relevantes
% text(tp, max_peak + 0.00001, [' y( t_p ): ' num2str(max_peak)],
'VerticalAlignment', 'bottom', 'HorizontalAlignment', 'right');
% text(t_s5, max_peak + 0.00001, [' t_s5: ' num2str(t_s5)], 'VerticalAlignment',
'bottom', 'HorizontalAlignment', 'center');
text(tp, -0.00007, [' t_p : ' num2str(tp) ' s'], 'VerticalAlignment', 'top',
'HorizontalAlignment', 'center');
text(-0.02, final_value, [' K: ' num2str(final_value)], 'VerticalAlignment',
'middle', 'HorizontalAlignment', 'right');
text(-0.02, limite_superior, [' +5%: ' num2str(limite_superior)],
'VerticalAlignment', 'middle', 'HorizontalAlignment', 'right');
text(-0.02, limite_inferior, [' -5%: ' num2str(limite_inferior)],
'VerticalAlignment', 'middle', 'HorizontalAlignment', 'right');

title('Resposta ao Degrau U de Q(s)');
xlabel('Tempo (s)');
ylabel('Amplitude');

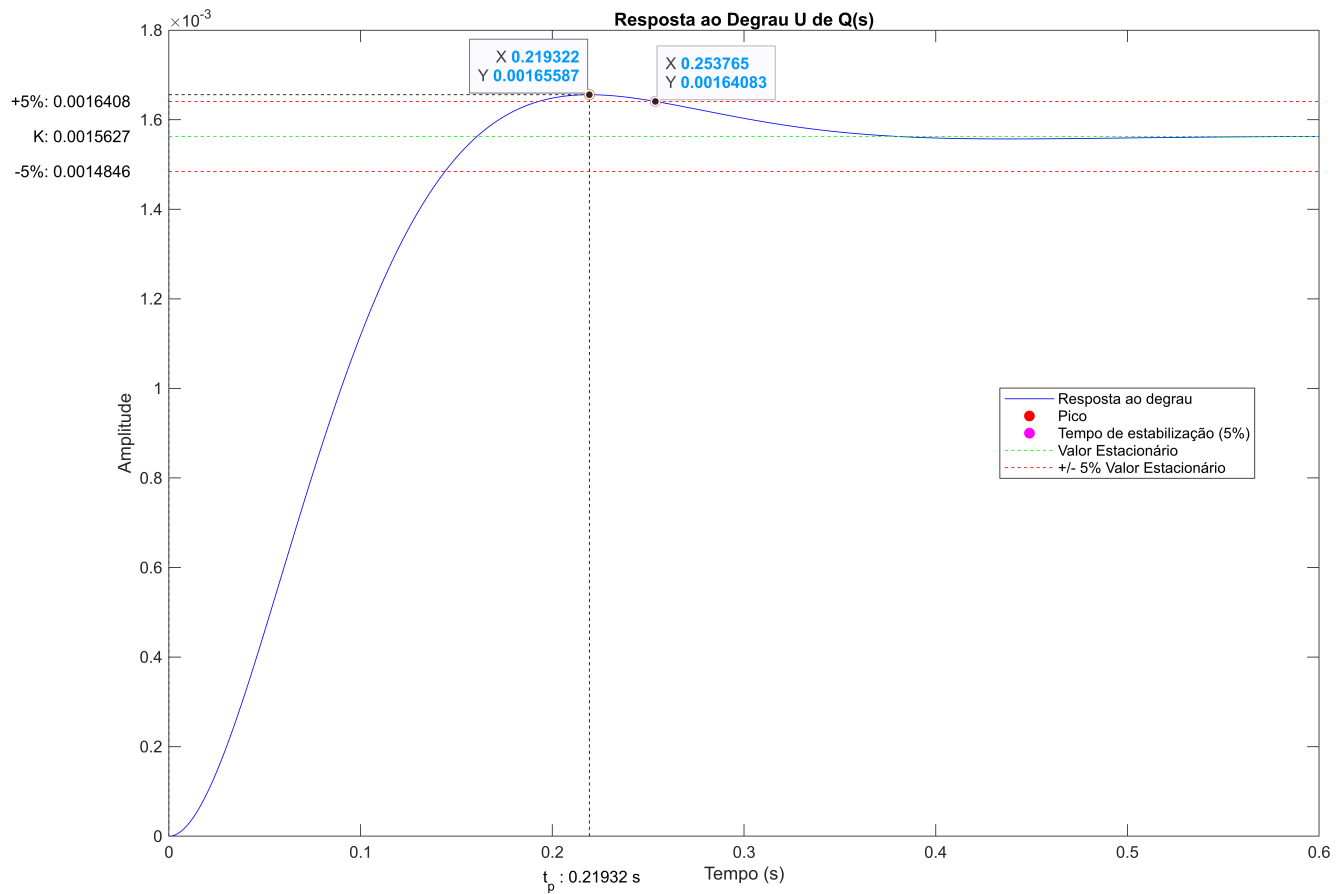
lgd = legend('Resposta ao degrau', 'Pico', 'Tempo de estabilização (5%)', 'Valor
Estacionário', '+/- 5% Valor Estacionário', 'Location', 'best');

ax = gca;
chart = ax.Children(7);
datatip(chart, 0.2193, 0.001656);
TempoDeEstabilizacao5 = findobj(gcf, "DisplayName", "Tempo de estabilização (5%)");
datatip(TempoDeEstabilizacao5, 0.2538, 0.001641);

```



```
hold off;
```



% Os valores de zeta, w_n , MP, t_p já foram calculados no item 1.2, sendo eles:
fprintf('zeta: %f\n', zeta)

zeta: 0.667926

$\zeta = 0.667926$.

fprintf('wn: %f rad/s\n', wn)

wn: 19.246950 rad/s

$\omega_n = 19.246950 \frac{\text{rad}}{\text{s}}$.

fprintf('MP: %f\n', Mp)

MP: 0.059636

$M_p = 0.059636$.

```
fprintf('tp: %f\n', tp)
```

```
tp: 0.219322
```

$t_p = 0.219322 \text{ s}$.

```
fprintf('tr: %f s\n', t_r)
```

```
tr: 0.105575 s
```

$t_r = 0.105575 \text{ s}$.

```
fprintf('t_s5: %f s\n', t_s5)
```

```
t_s5: 0.253765 s
```

E por fim, $t_{s5} = 0.253765 \text{ s}$.

1.5 Feche a malha do processo $G(s)$ com uma realimentação de ganho K . Obtenha a faixa de valores de K em que o sistema é estável.

Fechando a malha com uma realimentação de ganho K obtemos a nova função de transferência:

G

G =

$$\frac{4000}{s^4 + 546.7 s^3 + 7.827e04 s^2 + 1.915e06 s + 2.56e07}$$

Continuous-time transfer function.
Model Properties

$$G_k(s) = \frac{G(s)}{1 + K G(s)}$$

$$G_k(s) = \frac{4000}{s^4 + 546.7 s^3 + 7.827e04 s^2 + 1.915e06 s + 2.56e07 + 4000 K}$$

Para que possamos aplicar a Tabela de Routh é necessário que:

$$2.56e07 + 4000 K > 0.$$

```
syms k;  
cell2mat(G.Denominator)
```

```
ans = 1x5  
10^7 ×  
    0.0000    0.0001    0.0078    0.1915    2.5600
```

```
solve(2.5600*10^7 + 4000*k > 0)
```

```
ans = -6399
```

$$\Rightarrow K > -6399$$

Motando a tabela, temos:

$s^4 \mid 1$	7.827e04	$2.56e07 + 4000 K$
$s^3 \mid 546.7$	1.915e06	0
<hr/>		
$s^2 \mid 74767.16$	$2.56e07 + 4000 K$	0
$s^1 \mid \frac{1.292e11 - 2186800 K}{74767.16}$	0	0
$s^0 \mid 2.56e07 + 4000 K$	0	0

Portanto, necessitamos que os elementos da primeira coluna seja todos maiores que zero para o sistema ser estável. Assim, para ser estável precisamos que:

$$\frac{1.292e11 - 2186800 K}{74767.16} > 0 \Rightarrow 1.292e11 - 2186800 K > 0.$$

```
solve(1.292*10^11 - 2186800*k > 0)
```

ans =

$$\frac{322994533}{5467}$$

$$\Rightarrow K < 59081.$$

$$2.57e07 + 4000 K > 0 \Rightarrow K > -6399.$$

Logo, fazendo a interseção dos valores de K , temos que o sistema é estável para $-6399 < K < 59081$. Podem haver pequenas diferenças entre os números vistos e os que são de fato devido às aproximações feitas durante os cálculos.

Análise da Resposta no Tempo Discreto

A Função de Transferência baixo foi designada em função do seu valor de l .

Dz

Dz =

$$\frac{2.038e-05 z^2 + 4.076e-05 z + 2.038e-05}{z^2 - 0.7826 z + 0.3043}$$

Sample time: 0.05 seconds

Discrete-time transfer function.

Model Properties

2.1 Obtenha o modelo equivalente contínuo $D_t(s)$ de $D(z)$ usando a transformação bilinear para $T_s = 50[\text{ms}]$.

Para obter o equivalente contínuo de um sistema discreto usando a transformação bilinear, podemos usar a seguinte fórmula de mapeamento:

$z = 1 + T_s s$, onde T_s é o tempo de amostragem discreto (50 ms) no nosso caso.

Porém, com a disposição do matlab podemos utilizar simplesmente a função "d2c" na qual convertemos uma função de transferência no tempo discreto para tempo contínuo especificando o método de conversão.

```
% Convertendo Dz pro tempo contínuo (Dt) pelo método de 'tustin'
Dt = d2c(Dz, 'tustin')
```

Dt =

```
      0.0625
-----
s^2 + 26.67 s + 400
```

Continuous-time transfer function.
Model Properties

2.2 Obtenha o modelo equivalente contínuo $D_{\text{zoh}}(s)$ de $D(z)$ usando ZOH para $T_s = 50[\text{ms}]$.

Para obter a equivalência entre um sistema contínuo e um sistema discreto usando a transformação ZOH, podemos usar a seguinte fórmula de mapeamento:

$$P_d(z) = (1 - z^{-1})Z \left\{ L^{-1} \left[P(s) \frac{1}{s} \right]_{t=kT_s} \right\}.$$

Porém, com a disposição do matlab podemos utilizar simplesmente a função "d2c" na qual convertemos uma função de transferência discreto para contínua especificando o método de conversão.

```
% Convertendo Dz pro tempo contínuo (Dzoh) pelo método de 'zoh'
Dzoh = d2c(Dz, 'zoh')
```

Dzoh =

```
2.038e-05 s^2 + 0.001055 s + 0.06036
-----
s^2 + 23.79 s + 386.3
```

Continuous-time transfer function.
Model Properties

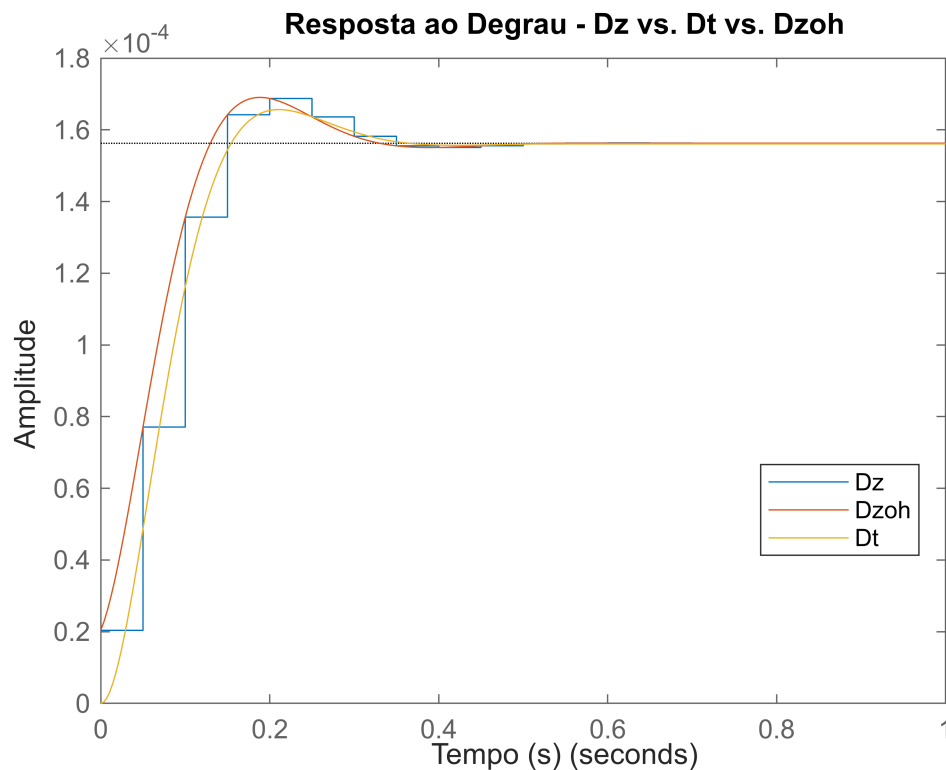
2.3 Compare a resposta ao degrau unitário de $D_z(z)$, $D_{\text{zoh}}(s)$ e $D_t(s)$. Explique o resultado.

```
figure;
step(Dz, Dzoh, Dt);
```

```

xlabel('Tempo (s)');
ylabel('Amplitude');
title('Resposta ao Degrau - Dz vs. Dt vs. Dzoh');
legend('show', 'Location', 'best');

```



No gráfico, o método ZOH preserva exatamente a resposta ao degrau do sistema discreto, enquanto o método Tustin, sendo uma aproximação, apresenta pequenas diferenças.

2.4 Obtenha as matrizes do modelo no EE de $D_z(z)$.

Podemos obter as matrizes de modelo em EE de $D_z(z)$ a partir da função disponível no matlab 'tf2ss', que nos permite passar os coeficientes do numerador e do denominador da função de transferência e nos retorna as matrizes em EE do modelo.

```

% Obter os coeficientes do numerador e denominador
numerator= cell2mat(Dz.Numerator)

```

```

numerator = 1x3
10^-4 x
    0.2038    0.4076    0.2038

```

```

denominator = cell2mat(Dz.Denominator)

```

```

denominator = 1x3
    1.0000   -0.7826    0.3043

```

```

[A,B,C,D] = tf2ss(numerator, denominator)

```

```

A = 2x2
    0.7826    -0.3043
    1.0000         0
B = 2x1
     1
     0
C = 1x2
10^-4 x
     0.5671     0.1418
D = 2.0380e-05

```

2.5 Obtenha a matrix de transição de estados $\Phi[k] = A^k$ e use-a para obter a saída $y[k]$ do sistema para \vec{q}_0 com todos os elementos iguais a 1. Compare a resposta obtida com a produzida pela função "initial" do MATLAB. Considere $T_s = 50[\text{ms}]$ e apresente o gráfico com tempo até três segundos.

Temos a matriz A:

```

A
A = 2x2
    0.7826    -0.3043
    1.0000         0

```

Assim podemos calcular A^k através de Cayley Hamilton. Como a matriz A é 2x2, então sabemos que:

$$A^k = p_0(k) + p_1(k)A.$$

Para encontrar $p_0(k)$ e $p_1(k)$ precisamos determinar os autovalores da matriz A :

```

lambda = eig(A)
lambda = 2x1 complex
    0.3913 + 0.3889i
    0.3913 - 0.3889i

```

Logo $\lambda_1 = 0.3913 + 0.3889j$ e $\lambda_2 = 0.3913 - 0.3889j$. Podemos passar esses valores para a forma polar:

```

mod1 = sqrt( real(lambda(1,1))^2 + imag(lambda(1,1))^2)

```

```

mod1 = 0.5517

```

```

ang1 = atan(imag(lambda(1,1)) / real(lambda(1,1)))

```

```

ang1 = 0.7823

```

```

mod2 = sqrt( real(lambda(2,1))^2 + imag(lambda(2,1))^2)

```

```

mod2 = 0.5517

```

```

ang2 = atan(imag(lambda(2,1)) / real(lambda(2,1)))

```

```

ang2 = -0.7823

```

$$\lambda_1 = 0.3913 + 0.3889j = 0.5517e^{0.7823j}$$

$$\lambda_2 = 0.3913 + 0.3889j = 0.5517e^{-0.7823j}$$

Assim, podemos determinar $p_0(k)$ e $p_1(k)$:

$$\begin{cases} (0.5517e^{0.7823j})^k = p_0(k) + p_1(k)(0.3913 + 0.3889j) \\ (0.5517e^{-0.7823j})^k = p_0(k) + p_1(k)(0.3913 - 0.3889j) \end{cases}$$

Subtraindo as equações:

$$\frac{0.5517^k (e^{0.7823jk} - e^{-0.7823jk})}{2j} = 0.3889 p_1(k) \Rightarrow p_1(k) = \frac{0.5517^k \cdot \sin(0.7823 k)}{0.3889};$$

já somando as equações, temos:

$$\frac{0.5517^k (e^{0.7823jk} + e^{-0.7823jk})}{2} = p_0(k) + 0.3913 p_1(k) \Rightarrow p_0(k) = 0.5517^k \cdot \cos(0.7823 k) - 0.3913 p_1(k).$$

Agora basta substituir $p_0(k)$, $p_1(k)$ e A em $A^k = p_0(k) + p_1(k)A$, que teremos a matriz de transição de estados A^k .

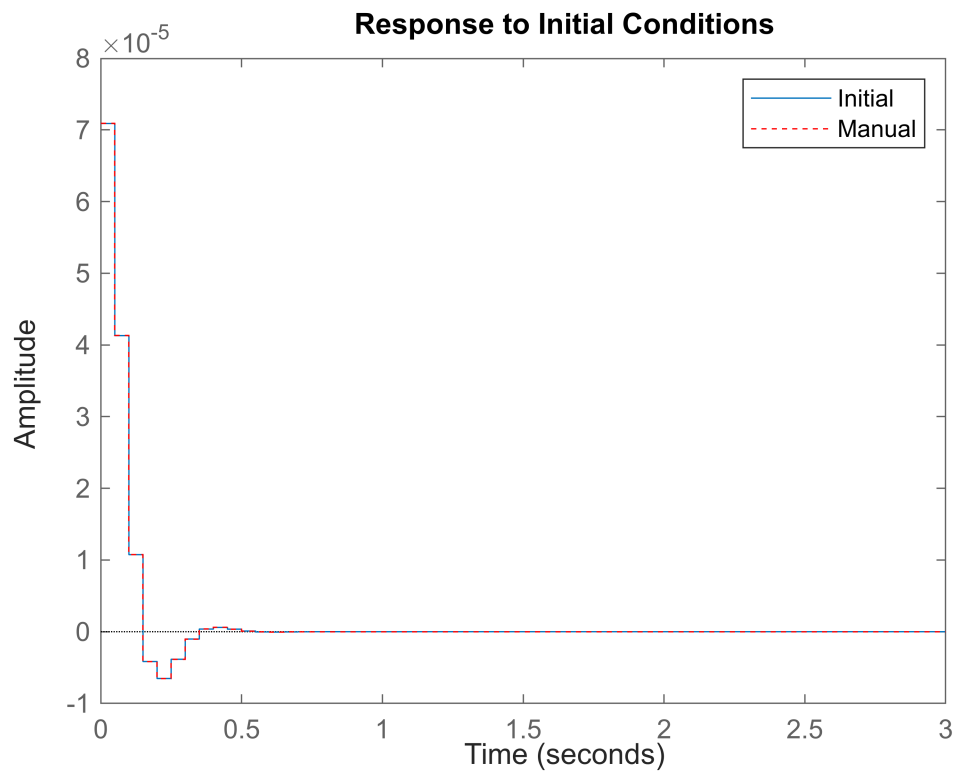
Finalmente, para encontrar a saída natural $y(k)$ para um condição inicial \vec{q}_0 , podemos utilizar a seguinte forma:

$$y(k) = [C_d] A^k \vec{q}_0, \text{ onde } [C_d] = [C] \text{ e pelo enunciado } \vec{q}_0 = [1, 1].$$

```
Ts = 0.05;
k_values = (0:1:3/Ts); % k deve ser inteiro, 3 segundos equivale a 60 amostras na
frequencia dada no enunciado (Ts = 50 ms)
vk = length(k_values);
yk = vk * 0;
q0 = [1;1];

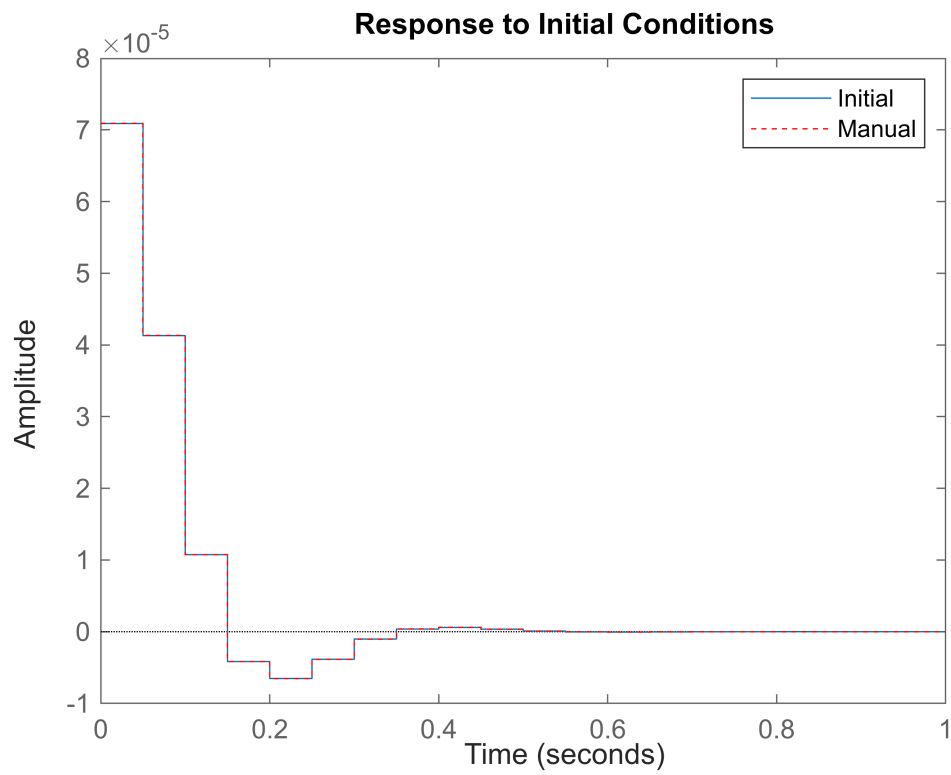
for k = k_values
    p1 = (0.5517^k * sin(0.7823 * k)) / 0.3889;
    p0 = 0.5517^k * cos(0.7823 * k) - 0.3913 * p1;
    Ak = p0 * eye(2) + p1 * A;
    yk(k+1) = C * Ak * q0;
end

sys = ss(A,B,C,D, Ts);
figure;
initial(sys,q0,3);
hold on;
stairs(k_values*Ts, yk, '--r');
legend('Initial', 'Manual');
hold off;
```



Como no enunciado pede tempo com até 3 segundos ele está apresentado acima, porém, como a função se estabiliza logo no começo (em aproximadamente 0.6 segundos já está quase totalmente estabilizado), podemos plotar até apenas 1 segundo para uma melhor visualização e análise dos resultados:

```
figure;  
initial(sys,q0,1);  
hold on;  
stairs(k_values*Ts, yk, '--r');  
legend('Initial', 'Manual');  
hold off;
```

Vemos portanto que a resposta obtida através dos valores calculados manualmente utilizando o método de Cayley-Hamilton, está extremamente próxima a gerada pela função *initial* do matlab, e portanto obtemos um resultado satisfatório.